

## 电工技能比武理论复习题库

### 一、单项选择题（只有一个正确答案，把正确答案编号填写在括号内）

1. 液压系统中油缸属于( B )。  
(A) 动力元件 (B) 执行元件 (C) 控制元件 (D) 辅助元件
2. 某段磁路长度与其磁场强度的乘积，称为该段磁路的( C )。  
(A) 磁通 (B) 磁阻 (C) 磁压 (D) 磁通势
3. TTL集成逻辑门电路内部是以( B )为基本元件构成的。  
(A) 二极管 (B) 三极管 (C) 晶闸管 (D) 场效应管
4. 在下列直流稳压电路中，效率最高的是 ( D )稳压电路。  
(A) 硅稳压管型 (B) 串联型 (C) 并联型 (D) 开关型
5. 多谐振荡器主要是用来产生 C )信号。  
(A) 正弦波 (B) 脉冲波 (C) 方波 (D) 锯齿波
6. 逻辑表达式 $A+AB$ 等于( A )。  
(A) A (B)  $1+A$  (C)  $1+B$  (D) B
7. 力矩电动机的特点是 C )。  
(A) 转速高，转矩大 (B) 转速高，转矩小  
(C) 转速低，转矩大 (D) 转速低，转矩小
8. 电压负反馈主要补偿 B )上电压的损耗。  
(A) 电枢回路电阻 (B) 电源内阻 (C) 电枢电阻 (D) 电抗器电阻
9. D触发器具有( C )数据的功能。  
(A) 处理 (B) 清除 (C) 锁存 (D) 计算
10. 在实际调整模拟放大电路的静态工作点时，一般是以( B )为准。  
(A)  $I_b$  (B)  $I_c$  (C)  $U_{ce}$  (D)  $U_{be}$
11. 电压 $u$ 初相角 $\phi_u=30^\circ$ ，电流 $i$ 的初相角 $\phi_i=-30^\circ$ ，电压 $u$ 与电流 $i$ 的相位关系是( C )。  
(A) 同相 (B) 反相 (C) 电压超前电流 $60^\circ$  (D) 电压滞后电流 $60^\circ$
12. 与非门的逻辑功能为( C )。  
(A) 入0出0，全1出1 (B) 入1出0，全0出0  
(C) 入0出1，全1出0 (D) 入1出0，全0出1
13. 在三极管输出特性曲线中，当 $I_B=0$ 时， $I_C$ 的值为( B )。  
(A)  $I_{CM}$  (B)  $I_{CE0}$  (C)  $I_{CB0}$
14. 当单晶体管的发射结电压高于( B )电压时，就导通。。

- (A) 额定 (B) 峰点 (C) 谷点 (D) 安全
15. 当变压器带电容性负载运行时, 其电压调整率  $\Delta U\%$  ( C )。
- (A) 大于零 (B) 等于零 (C) 小于零 (D) 大于1
16. 在直流调速系统中, 为了解决调速系统的稳定性问题, 可以引入 ( B )。
- (A) 电压负反馈 (B) 电压微分负反馈  
(C) 电流正反馈 (D) 电流截止负反馈
17. 在三相半波可控整流电路中, 每只晶闸管的最大导通角为 ( D )。
- (A)  $30^\circ$  (B)  $60^\circ$  (C)  $90^\circ$  (D)  $120^\circ$
18. 无换向器电动机的调速方法是 ( D )。
- (A) 调电压调速 (B) 调励磁电流调速  
(C) 调电刷位置调速 (D) 三者都是
19. 油缸产生爬行现象可能是由于 ( D )。
- (A) 系统泄漏油压降低 (B) 溢流阀失效  
(C) 滤油器堵塞 (D) 空气渗入油缸
20. 电力场效应管MOSFET是理想的 ( A ) 控制器件。
- (A) 电压 (B) 电流 (C) 电阻 (D) 功率
21. 绝缘栅双极晶体管的开关速度 ( B ) 电力场效应管。
- (A) 稍高于 (B) 低于 (C) 等于 (D) 远高于
22. 衡量一个集成运算放大器内部电路对称程度高低, 是用 ( A ) 来判别的。
- (A) 输入失调电压 (B) 输入偏置电流  
(C) 最大差模输入电压 (D) 最大共模输入电压
23. 三相六拍通电方式步进电动机转子齿数为 10, 则每输入一个脉冲转子转过 ( B )。
- (A)  $3^\circ$  (B)  $6^\circ$  (C)  $12^\circ$  (D)  $36^\circ$
24. 多级放大器的总电压放大倍数等于各级放大电路电压放大倍数之 ( C )。
- (A) 和 (B) 差 (C) 积 (D) 商
25. 三相异步电动机负载不变而电源电压降低时, 其转子转速将 ( B )。
- (A) 升高 (B) 降低 (C) 不变 (D) 不一定
26. 叠加原理适用于 ( C ) 电路。
- (A) 直流 (B) 交流 (C) 线性 (D) 非线性
27. 高频信号发生器大的频率调整旋钮主要用来改变主振荡回路的 ( B )。
- (A) 电压高低 (B) 可变电容器容量 (C) 电流的大小 (D) 可变电阻的大小
28. 规定RS触发器的 ( C ) 的状态为触发器的状态。
- (A) R端 (B) S端 (C) Q端 (D)  $\bar{Q}$ 端

29. 绕线转子异步电动机的串级调速是在转子电路中引入( D )。  
(A) 调速电阻 (B) 频敏变阻器 (C) 电抗器 (D) 反电动势
30. 三相二极交流换向器异步电动机的电刷数是( C )。  
(A) 2 (B) 4 (C) 6 (D) 8
31. 三相异步换向器电动机同相电刷间的张角变化范围是( C )。  
(A)  $0^\circ \sim +180^\circ$  (B)  $-120^\circ \sim +120^\circ$   
(C)  $-180^\circ \sim +180^\circ$  (D)  $-60^\circ \sim +60^\circ$
32. 无刷直流电动机从工作原理上看是属于( D )电动机。  
(A) 鼠笼式异步 (B) 绕线式异步 (C) 同步 (D) 直流
33. 直流电动机的转速 $n$ 与电源电压 $U$ ( A )。  
(A) 成正比 (B) 成反比 (C) 平方成正比 (D) 平方成反比
34. 直流力矩电动机在使用中电枢电流不得超过( B )电流。  
(A) 额定 (B) 峰值 (C) 整定 (D) 工作
35. PLC采用的( B )的工作方式。  
(A) 顺序控制 (B) 循环扫描 (C) 数值控制 (D) 间断控制
36. 带有速度、电流双闭环的调速系统, 在启动时调节作用主要靠( A )调节器产生。  
(A) 电流 (B) 速度  
(C) 负反馈电压 (D) 电流、速度两个
37. 采用移相电容的补偿方式, 效果最好的方式是( A )。  
(A) 个别补偿 (B) 集中补偿 (C) 分组补偿 (D) 不一定
38. 在下列机械传动中, 传动比最不能保证的是( A )。  
(A) 带传动 (B) 链传动 (C) 齿轮传动 (D) 螺旋传动
39. 47. PLC交流双速电梯中, PLC输出接口一般采用( C )方式。  
(A) 晶闸管 (B) 继电器 (C) 晶体管 (D) 单晶管
40. 微型计算机是以( C )的核心。  
(A) 存储器 (B) 总线 (C) CPU (D) I/O 接口
41. PLC中( A )是要永久保存的, 用户不能改变。  
(A) 系统程序 (B) 用户程序 (C) 工作程序 (D) 任何程序
42. ( C )是指微机对生产过程中的有关参数进行控制。  
(A) 启动控制 (B) 顺序控制 (C) 数值控制 (D) 参数控制
43. PLC可编程序控制器的整个工作过程分五个阶段, 当 PLC通电运行时, 第一个阶段应为( D )。  
(A) 与编程器通讯 (B) 执行用户程序 (C) 读入现场信号 (D) 自诊断

44. 功率继电器在继电保护装置中广泛用作 ( C ) 的方向判断。  
(A) 功率 (B) 保护 (C) 短路 (D) 断路
45. 在下列机械传动中, 传动效率高的是 ( C )。  
(A) 带传动 (B) 液压传动 (C) 齿轮传动 (D) 螺旋传动
46. 液压系统中调速阀是属于 ( C )。  
(A) 方向控制阀 (B) 压力控制阀 (C) 流量控制阀 (D) 安全阀
47. 把 ( C ) 的装置称为逆变器。  
(A) 交流电变换为直流电 (B) 交流电电压升高或降低  
(C) 直流电变换为交流电 (D) 直流电升高或降低
48. 三相全控桥整流输出的平均电压的计算公式为 ( B )。  
(A)  $1.17U_d \cos\alpha$  (B)  $2.34U_d \cos\alpha$   
(C)  $1.17U_d \sin\alpha$  (D)  $2.34U_d \sin\alpha$
49. 把放大器的输入端短接, 若反馈信号没有消失, 此时的反馈应属于 ( D ) 反馈。  
(A) 并联 (B) 串联 (C) 电压 (D) 电流
50. 射极输出器 ( B ) 放大能力。  
(A) 具有电压 (B) 具有电流 (C) 具有功率 (D) 不具有任何
51. 在蜗杆传动或螺旋传动中, 要实现自锁性应使其导程角  $\gamma$  ( A )。  
(A)  $\leq 6^\circ$  (B)  $\leq 9^\circ$  (C)  $\leq 12^\circ$  (D)  $\leq 15^\circ$
52. 铁心线圈的匝数与其通过的电流乘积, 通常称为 ( D )。  
(A) 磁通 (B) 磁阻 (C) 磁压 (D) 磁通势
53. CMOS集成逻辑门电路内部是以 ( D ) 为基本元件构成的。  
(A) 二极管 (B) 三极管 (C) 晶闸管 (D) 场效应管
54. 组合逻辑门电路在任意时刻的输出状态只取决于该时刻的 ( C )。  
(A) 电压高低 (B) 电流大小 (C) 输入状态 (D) 电路状态
55. 当集成逻辑“与非”门某一输入端接地, 而其余输入端悬空时, 流入这个输入端的电流称为输入 ( C ) 电流。  
(A) 额定 (B) 开路 (C) 短路 (D) 负载
56. 数字式电压表测量的精确度高, 是因为仪表的 ( B )。  
(A) 准确度高 (B) 输入阻抗高 (C) 电源稳定性好 (D) 能读取的有效数字多
57. 晶体管静态工作点在交流负载线位置定的太高, 会造成输出信号的 ( A )。  
(A) 饱和失真 (B) 截止失真 (C) 交越失真 (D) 线性失真
58. 双稳态触发脉冲过窄, 将会使电路出现的后果是 ( B )。  
(A) 空翻 (B) 触发而不翻转

- (C) 随机性乱翻转 (D) 正常翻转
59. 直流放大器中，产生零点飘移的主要原因是( D )的变化。  
(A) 频率 (B) 电路中电流 (C) 元件参数 (D) 温度
60. 测量 $1\ \Omega$ 以下电阻，如果要求精度高，应选用( D )。
61. (A) 万用表Rx1档 (B) 毫伏表及电流表 (C) 单臂电桥 (D) 双臂电桥
62. 三相桥式半控整流电路中，每只晶闸管承受最高的正反向电压为变压器二次相电压的( C )。  
(A)  $\sqrt{2}$  (B)  $\sqrt{3}$  (C)  $\sqrt{2}\sqrt{3}$  (D)  $2\sqrt{3}$
63. 电力晶体管是( B )控制器件。  
(A) 电压 (B) 电流 (C) 电阻 (D) 功率
64. 绝缘栅双极晶体管具有( B )处理能力。  
(A) 高电压 (B) 大电流 (C) 过载 (D) 超功率
65. 在数控机床的位置数字显示装置中，应用最普遍的是( A )。  
(A) 感应同步数显 (B) 磁栅数显 (C) 光栅数显 (D) 一样
66. 规定RS触发器的( C )的状态为触发器的状态。  
(A) R端 (B) S端 (C) Q端 (D)  $\bar{Q}$ 端
67. 当PLC电源掉电时，计数器( C )。  
(A) 复位 (B) 不复位 (C) 当前值保持不变 (D) 计数
68. 自整角机的结构类似于( B )电动机。  
(A) 鼠笼式异步 (B) 绕线式异步 (C) 同步 (D) 直流
69. 无静差调速系统的调节原理是( A )。  
(A) 依靠偏差的积累 (B) 消除偏差的积累  
(C) 依靠偏差对时间的积累 (D) 消除偏差对时间的积累
70. 把直流电源中恒定的电压变换成( D )的装置称为直流斩波器。  
(A) 交流电压 (B) 可调交流电压  
(C) 脉动直流电压 (D) 可调脉动直流电压
71. 在RS触发器中，当 $S=R=1$ 时，触发器状态( D )。  
(A) 置1 (B) 置0 (C) 不变 (D) 不定
72. 把放大器的输出端短接，若反馈信号不为零，此时的反馈应属于(反)反馈。  
(A) 并联 (B) 串联 (C) 电压 (D) 电流
73. 相对磁导率( B )。  
(A) 有单位 (B) 无单位 (C) 单位是亨/米 (D) 单位是特
74. 在铁磁物质组成的磁路中，磁阻非线性的原因是( A )是非线性的。

- (A) 磁导率 (B) 磁通 (C) 电流 (D) 磁场强度

75. 自感电动势的方向应由 ( B ) 来确定。

- (A) 欧姆定律 (B) 楞次定律 (C) 焦耳定律 (D) 法拉第电磁感应定律

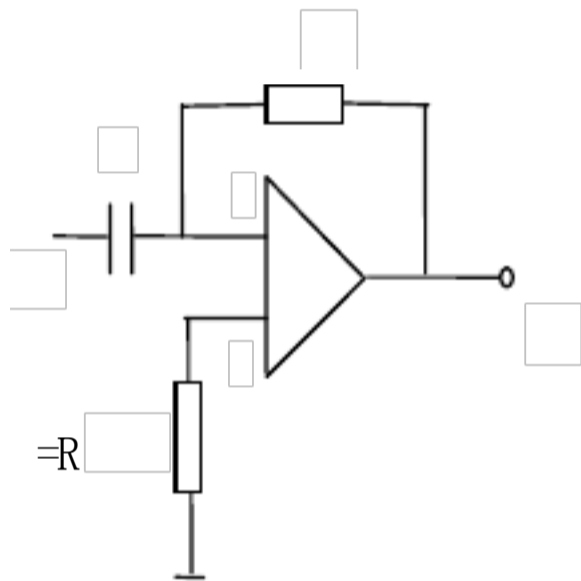
76. 互感系数是由 ( B ) 决定的。

- (A) 电流 (B) 线圈的匝数、几何尺寸  
(C) 线圈的电压 (D) 线圈的电阻

77. 正弦波振荡器的振荡频率  $f$  取决于 ( D )。

- (A) 反馈强度 (B) 反馈元件的参数  
(C) 放大器的放大倍数 (D) 选频网络的参数

78. 如图所示运算放大器属于 ( C )。



- (A) 加法器 (B) 乘法器 (C) 微分器 (D) 积分器

79. 硅稳压管稳压电路适用于 ( D ) 的场合。

- (A) 高电压 (B) 低电压 (C) 负载大 (D) 负载小

80. 石英晶体多谐振荡器的振荡频率 ( A )。

- (A) 只决定于石英晶体本身的谐振频率 (B) 决定于 R 的大小  
(C) 决定于 C 的大小 (D) 决定于时间常数 RC

81. 一异步三位二进制加法计数器，当第8个CP脉冲过后，计数器状态变为 ( A )。

- (A) 000 (B) 010 (C) 110 (D) 101

82. 由基本RS触发器组成的数码寄存器清零时，需在触发器 ( B )。

- (A)  $\bar{R}$  端加一正脉冲 (B)  $\bar{R}$  端加一负脉冲  
(C)  $\bar{S}$  端加一正脉冲 (D)  $\bar{S}$  端加一负脉冲

83. 在并联谐振式晶闸管逆变器中，为求得较高的功率因数和效率，应使晶闸管触发脉冲的频率 ( C ) 负载电路的谐振频率。

- (A) 远大于 (B) 大于 (C) 接近于 (D) 小于

84. 变压器的铁心由 ( A ) 大部分组成。

- (A) 2 (B) 3 (C) 4 (D) 5
85. 修理变压器分接开关时，空气相对湿度不得大于75%，开关在空气中曝露时间不得超过( C )小时。
- (A) 8 (B) 16 (C) 24 (D) 48
86. 三相异步电动机要检查定、转子绕组匝间绝缘的介电强度，应进行( A )试验。
- (A) 匝间绝缘 (B) 耐压 (C) 短路 (D) 空载
87. 0.4千伏以下的变压器检修后，一般要求绝缘电阻不低于( B )兆欧。
- (A) 0.5 (B) 90 (C) 200 (D) 220
88. 电动机采用电磁抱闸和电磁离合器进行制动的原理是( B )。
- (A) 电流的热效应 (B) 电流的磁效应 (C) 电磁感应 (D) 电流的化学效应
89. 交流测速发电机有两套绕组，其输出绕组与( C )相接。
- (A) 电压信号 (B) 短路导线 (C) 高阻抗仪表 (D) 低阻抗仪表
90. 空心杯电枢直流伺服电动机有一个外定子和( A )个内定子。
- (A) 1 (B) 2 (C) 3 (D) 4
91. 反应式步进电动机的步距角 $\theta$ 与通电拍数 $m$ 的关系是与\_ ( B )。
- (A)  $m$ 成正比 (B)  $m$ 成反比 (C)  $m^2$ 成正比 (D)  $m^2$ 成反比
92. 交流异步电动机在变频调速过程中，应尽可能使气隙磁通( D )。
- (A) 大些 (B) 小些 (C) 由小到大变化 (D) 恒定
93. 电压负反馈调速系统通过稳定直流电动机电枢电压来达到稳定转速的目的，其原理是电枢电压的变化与( A )。
- (A) 转速的变化成正比 (B) 转速的变化成反比  
(C) 转速的变化平方成正比 (D) 转速的变化平方成反比
94. 带有电流截止负反馈环节的调速系统，为了使电流截止负反馈参与调节后机械特性曲线下垂段更陡一些，应选阻值( A )的反馈取样电阻。
- (A) 大一些 (B) 小一些 (C) 接近无穷大 (D) 等于零
95. 电梯轿厢额定载重量为800kg，一般情况下轿厢可乘( C )人应为满载。
- (A) 10 (B) 5 (C) 8 (D) 15
96. 人为使限速器动作来进行限速器安全钳联动试验时，电梯轿厢以( B )额定速度下行。
- (A) 115% (B) 100% (C) 125% (D) 150%
97. 将二进制数00111011转换为十六进制数是( D )。
- (A) 2AH (B) 3AH (C) 2BH (D) 3BH
98. 可以产生急回运动的平面连杆机构是( B )机构。

- (A) 导杆 (B) 双曲柄 (C) 曲柄摇杆 (D) 双摇杆
99. 在载荷大、定心精度要求高的场合,宜选用 ( D ) 联接。  
(A) 平键 (B) 半圆键 (C) 销 (D) 花键
100. 中心距较大,温度不高又要求传动平稳时,应采用 ( B ) 传动。  
(A) 链 (B) 带 (C) 齿轮 (D) 蜗杆
101. 直齿圆柱齿轮工作时冲击、振动较严重的原因是 ( C )。  
(A) 材料的硬度高 (B) 齿面间存在滑动  
(C) 突然啮合,突然脱离 (D) 材质不匹配
102. 齿条就是基圆( A )的齿轮。  
(A) 无限大 (B) 无限小 (C) 较小 (D) 较大
103. 轴与轴承的配合部分称为 ( A )。  
(A) 轴颈 (B) 轴肩 (C) 轴头 (D) 轴伸
104. 用于轴交叉传动的联轴器可选用 ( D ) 联轴器。  
(A) 固定式 (B) 弹性 (C) 十字滑块 (D) 方向
105. 三个电容器的电容量分别为  $C_1$ 、 $C_2$ 、 $C_3$ ,若  $C_1 < C_2 < C_3$ ,现将它们串联到相应电压上,则它们所带电量关系是 ( C )。  
(A)  $Q_1 < Q_2 < Q_3$  (B)  $Q_1 > Q_2 > Q_3$   
(C)  $Q_1 = Q_2 = Q_3$  (D)  $Q_1 \neq Q_2 \neq Q_3$
106. 在三相电源电压不变的情况下,一个三相对称负载接星形和三角形,以下说法不正确的是 ( B )。  
(A) 两种接法,功率表达式相同 (B) 两种接法,功率相同  
(C) 两种接法,功率因数相同 (D) 两种接法,相电流不同
107. 将一台三相变压器的二次侧绕组接成三角形时,若误将其中一相绕组接反,则绕组回路总电动势为( C )。  
(A) 零 (B) 一相电动势 (C) 一相电动势的两倍 (D) 一相电动势的三倍
108. 如图所示电路中,在1、2端接入交流电源,若电压表的读  $V_3 = V_1 + V_2$  则,可知 ( A )。  
(A) 1、4是同名端 (B) 1、3是同名端 (C) 1、2是同名端 (D) 3、4是同名端
109. .直流电动机制动运行时,损耗最小,效率最高的是( C )。  
(A) 能耗制动 (B) 反接制动  
(C) 回馈制动 (D) 机械制动
110. 桥式起重机主钩电动机下放空钩时,电动机工作在( B )状态。  
(A) 正向电动 (B) 反向电动 (C) 倒拉反接 (D) 能耗制动
111. 通常所说的安全电压指( D )。



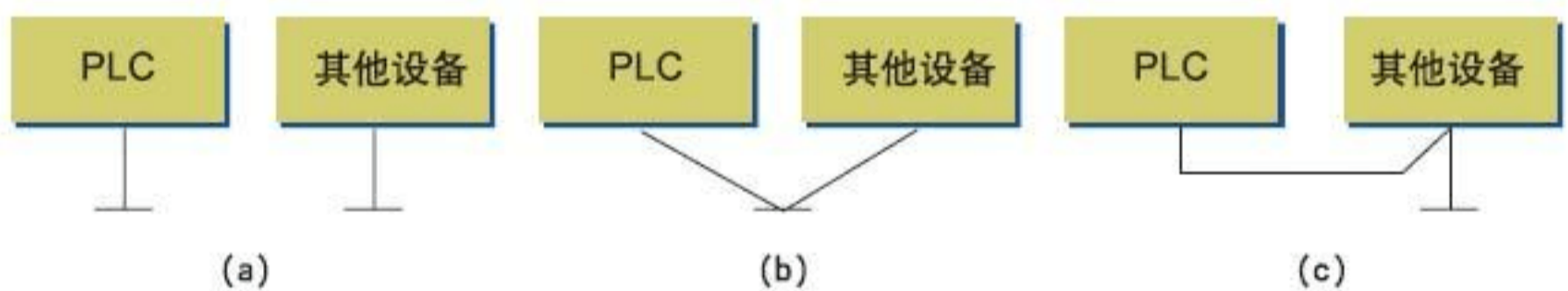
- (A) 42V电压 (B) 36V电压 (C) 24V电压 (D) 不危及人身安全的电压
112. 若欲对160个符号进行二进制编码, 则至少需要( B )位二进制数。  
(A) 7 (B) 8 (C) 9
113. 数字万用表一般都采用( C )显示器。  
(A) LED数码 (B) 荧光数码  
(C) 液晶数码 (D) 气体放电式
114. 为了保证拖动系统顺利启动, 直流电动机启动时, 一般都要通过串电阻或降低电压等办法把启动电流控制在( D )额定电流范围内。  
(A)  $< 2$ 倍 (B)  $\leq 1.1 \sim 1.2$ 倍 (C)  $\geq 1.1 \sim 1.2$ 倍 (D)  $\leq 2 \sim 2.5$ 倍
115. 在PLC中, 用户可通过编程指令修改或删除的是( B )。  
(A) 系统程序 (B) 用户程序 (C) 任何程序
116. 在变频调速系统时, 若保持恒压频比, 可实现近似( C )。  
(A) 恒功率调速 (B) 恒效率调速 (C) 恒转矩调速
117. 总的来说, 所需要最小控制电流的器件是( C )。  
(A) SCR (B) GTR (C) IGBT
118. 共发射极偏置电路中, 在直流通路中计算静态工作点的方法称为( C )。  
A、图解分析法 B、图形分析法 C、近似估算法 D、正交分析法
119. 把3块磁体从中间等分成6块可获得( D )个磁极。  
A、6 B、8 C、10 D、12
120. 变压器的基本工作原理是( B )。  
A、电流的磁效应 B、电磁感应 C、能量平衡 D、电流的热效应
121. 自感电动势的大小正比于本线圈中电流的( D )。  
A、大小 B、变化量 C、方向 D、变化率
122. 互感电动势的大小正比于( D )。  
A、本线圈电流的变化量 B、另一线圈电流的变化量  
C、本线圈电流的变化率 D、另一线圈电流的变化率
123. 观察持续时间很短的脉冲时, 最好用( C )示波器。  
A、普通 B、双踪 C、同步 D、双线
124. 直流差动放大电路可以( B )。  
A、放大共模信号, 抑制差模信号 B、放大差模信号, 抑制共模信号  
C、放大差模信号和共模信号 D、抑制差模信号和共模信号
125. 在运算电路中, 集成运算放大器工作在线性区域, 因而要引入( B ), 利用反馈网络实现各种数学运算。  
A、深度正反馈 B、深度负反馈 C、浅度正反馈 D、浅度负反馈

126. 串联型稳压电路中的调整管工作在( A )状态。  
A、放大            B、截止            C、饱和            D、任意
127. 逻辑表达式 $Y = \overline{A} \overline{B}$  属于( C )电路。  
A、与门            B、或门            C、与非门            D、或非门
128. TTL与非门输入端全部接地(低电平)时, 输出( C )。  
A、零电平            B、低电平  
C、高电平            D、可能是低电平, 也可能是高电平
129. 或非门RS触发器的触发信号为( B )。  
A、正弦波            B、正脉冲            C、锯齿波            D、负脉冲
130. 数码寄存器的功能主要是( B )。  
A、产生CP脉冲            B、寄存数码            C、寄存数码和移位            D、移位
131. 三相电动机负载及对整流电源要求较高的场合一般采用( C )整流电路。  
A、单相半波            B、三相半波            C、三相桥式半控            D、三相桥式全控
132. 电力晶体管的缺点是( D )。  
A、功率容量小            B、必须具备专门的强迫换流电路  
C、具有线性放大特性            D、易受二次击穿而损坏
133. 逆变器中的电力晶体管工作在( D )状态。  
A、饱和            B、截止            C、放大            D、开关
134. 电子设备的输入电路与输出电路尽量不要靠近, 以免发生( C )。  
A、短路            B、击穿            C、自激振荡            D、人身事故
135. 小型变压器的绕制时, 对铁心绝缘及绕组间的绝缘, 按对地电压的( B )倍来选用。  
A、1.5            B、2            C、3            D、4
136. 直流电动机转速不正常, 可能的故障原因是: ( A )。  
A、电刷位置不对            B、启动电流太小            C、电机绝缘老化            D、引出线碰壳
137. 三相异步电动机是利用( D )的原理工作的。  
A、导体切割磁力线            B、电流的线圈产生的磁场  
C、载流导体受力在磁场中运动            D、电磁感应和载流导体在磁场中受力
138. 串励直流电动机的机械特性是( B )。  
A、一条直线            B、双曲线            C、抛物线            D、圆弧线
139. 滑差调速电动机的机械特性是( D )。  
A、绝对硬特性            B、硬特性  
C、稍有下降的机械特性            D、软机械特性
140. 在变频调速中的变频器( D )。

- A、 只具有调压的功能  
B、 只具有调频的功能  
C、 都具有调压和调流的功能  
D、 都具有调压和调频的功能
141. 在实现恒转矩调速时，在调频的同时( C )。  
A、不必调整电压  
B、不必调整电流  
C、必须调整电压  
D、必须调整电流
142. 在电压负反馈调速系统中加入电流正反馈的作用是利用电流的增加，从而使转速( A )，使机械特性变硬。  
A、减少  
B、增大  
C、不变  
D、微增大
143. 在调速系统中，当电流截止负反馈参与系统调节作用时说明调速系统主电路电流( A )。  
A、过大  
B、过小  
C、正常  
D、为零
144. 双闭环调速系统中，电流环的输入信号有两个，即( A )信号和速度环的输出信号。  
A、主电路反馈电流  
B、主电路反馈转速  
C、主电路反馈的积分电压  
D、主电路反馈的微分电压
145. VVVF型电梯是采用( C )方法进行调速。  
A、改变磁极对数  
B、改变转差率  
C、改变电源电压和频率  
D、改变电源电压
146. 关于计算机的特点，( D )是论述的错误。  
A、运算速度快  
B、具有记忆和逻辑判断功能  
C、运算精度高  
D、运行过程不能自动、连续，需人工干预
147. 螺纹联接利用摩擦防松的方法是( A )防松。  
A、双螺母  
B、止动片  
C、冲边  
D、串联钢丝
148. 带传动的优点是( C )  
A、传动比准确  
B、结构紧凑  
C、传动平稳  
D、效率很高
149. 链传动属于( B )传动。  
A、磨擦  
B、啮合  
C、齿轮  
D、液压
150. 定轴轮系首、末两轮转速之比，等于组成该轮系的( B )之比。  
A、所有主动轮齿数连乘积与所有从动齿轮齿数连乘积  
B、所有被动轮齿数连乘积与所有主动齿轮齿数连乘积  
C、任意两个主动轮和从动轮  
D、中间惰轮齿数
151. 开式油箱的吸油管和回油管间的距离应该( B )。  
A、近一点  
B、尽可能远一点  
C、两个放在一起  
D、越近越好

152. 三相全控桥式整流输出的平均电压 $U_2$ 所计算式为 $U_2 = ( B )$   
A、 $1.17U_2\cos\alpha$  B、 $2.34U_2\cos\alpha$  C、 $1.17U_2\sin\alpha$  D、 $2.34 U_2\sin\alpha$
153. 把直流电源中恒定的电压变换成( D )的装置称为直流斩波器。  
A、 交流电压 B、 可调交流电压  
C、 脉动直流电压 D、 可调直流电压
154. R. L. C串联的正 交流电路的谐振频率 $f$ 为( B )  
A、 $2\pi\sqrt{LC}$  B、 $1/2\pi\sqrt{LC}$  C、 $2\pi LC$  D、 $1/2\pi LC$
155. 高压设备发生接地时, 为了防止跨步电压触电, 室外不能接近故障点( C )以内  
A、 3 米 B、 5米 C、 8米 D、 10米
156. 电动机的额定功率单位是( B )  
A、 KVA B、 KW C、 Kvar D、  $K\Omega$
157. 晶体的控制角 $\alpha=60^\circ$ , 其导通角为( A )  
A、  $120^\circ$  B、  $0^\circ$  C、  $60^\circ$  D、  $90^\circ$
158. 逻辑函数 $(AB + \overline{A}C + \overline{B}C)$ 通过逻辑运算可以化简为( C )。  
A、 ABC B、  $A + B + C$  C、  $AB + C$  D、  $A\overline{B} + C$
159. 稳压二极管在电子电路中的运用, 我们主要利用其( B )基本维持不变的特性。  
A、 正向导通电压 B、 反向击穿电压  
C、 正向导通电流 D、 反向击穿电流
160. 对称三相交流电源的三相电压分为 $U_A$ 、 $U_B$ 、 $U_C$ , 则在 $\omega t=60^\circ$ 时,  $U_A + U_B + U_C$ 为( A )。  
A、 0 B、  $1/2 U_A$  C、  $1/2 U_B$  D、  $1/2 (U_A + U_B + U_C)$
161. 西门子S7系列PLC常采用RAM存储器储存数据, 该存储器属于( B )。  
A、 只读存储器 B、 读写存储器  
C、 掉电可以保存数据 D、 只用来储存系统信息
162. 西门子S7系列PLC模拟量输入模块需要完成数据转换, 以便系统识别和处理, 该数据转换器是( A )。  
A、 A/D转换器 B、 D/A转换器 C、 JK触发器 D、 CMOS触发器
163. 如果电源的内阻越大, 则其加在负载上的电压( B )。  
A. 越大 B. 越小 C. 不变 D. 视具体情况而定
164. 为了提高感性负载的功率因数, 通常是在负载的两端并联( A )。  
A. 电容器 B. 电感器 C. 电阻器 D. 变压器
165. 三相变压器最常见的连接方式有( A )两种。

- A. Y/Y0和Y/Δ      B. Y/Y和Y/Δ      C. Δ/Δ      D. Δ/Y
166. 中间继电器使用在（ B ）中。  
A. 主电路      B. 控制电路      C. 主电路和控制电路      D. 没有限制。
167. 二极管具有（ A ）性。  
A. 单向导电      B. 可控      C. 保护      D. 稳压。
168. 改变直流电动机旋转方向必须是改变其（ D ）。  
A. 电枢电压极性      B. 励磁绕组的电压极性  
C. 电枢和励磁绕组的电压极性      D. 电枢或励磁绕组的电压极性
169. 步进电机的转速由其通电的（ A ）决定。  
A. 频率      B. 次数      C. 顺序      D. 功率
170. 为了防止外界干扰信号的影响，门电路的多余输入端一般不能（ C ），尤其是CMOS电路。处理上应保证电路的逻辑关系，并使其正常而稳定的工作。  
A. 接低电平      B. 接高电平      C. 悬空      D. 并联
171. 当变压器带电容性负载运行时，其电压调整率ΔU%（ C ）。  
A. 大于零      B. 等于零      C. 小于零      D. 大于1
172. 自感电动势的方向应由（ B ）来确定。  
A. 欧姆定律      B. 楞次定律      C. 焦耳定律      D. 法拉第电磁感应定律
173. 交流系统中三相母线规定涂不同的颜色的漆，A相 B相 C相的颜色分别为（ B ）  
A、红 绿 黄      B、黄 绿 红      C、红 黄 绿      D、黄 红 绿
174. PLC接地方式（ C ）应禁止的。



175. 电阻式传感器种类繁多，应用广泛，其基本原理就是将被测物理量的变化转换成（ A ）的变化，再经相应的测量电路显示或记录被测量值。  
A、电阻值      B、电容量      C、电感量      D、电磁量
176. 平板电容器的电容量  $C = \frac{\epsilon_0 \epsilon S}{\delta}$ ，式中  $\epsilon_0$ —真空的介电常数； $\epsilon$ —极板间介质的相对介电系数； $S$ —极板的遮盖面积（m<sup>2</sup>）； $\delta$ —两平行极板间的距离（m）。一般的电容式传感器是检测（ D ）的变化。

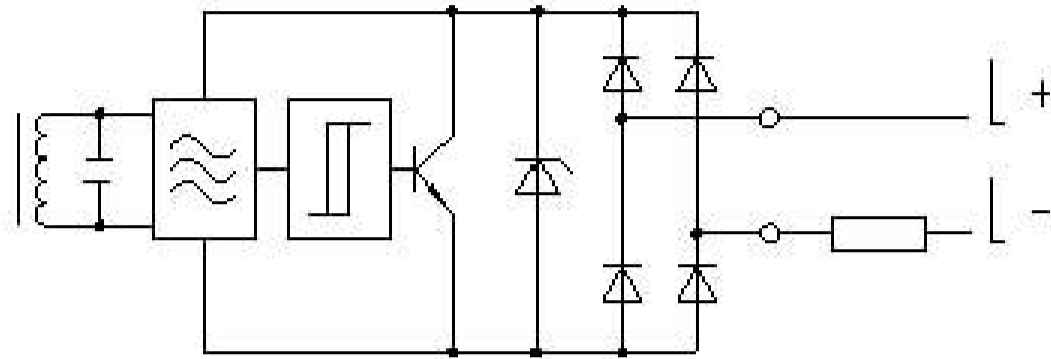
A、 $\epsilon$

B、 $\epsilon$

C、S

D、 $\delta$

177. 下图为 ( B ) 型传感器。



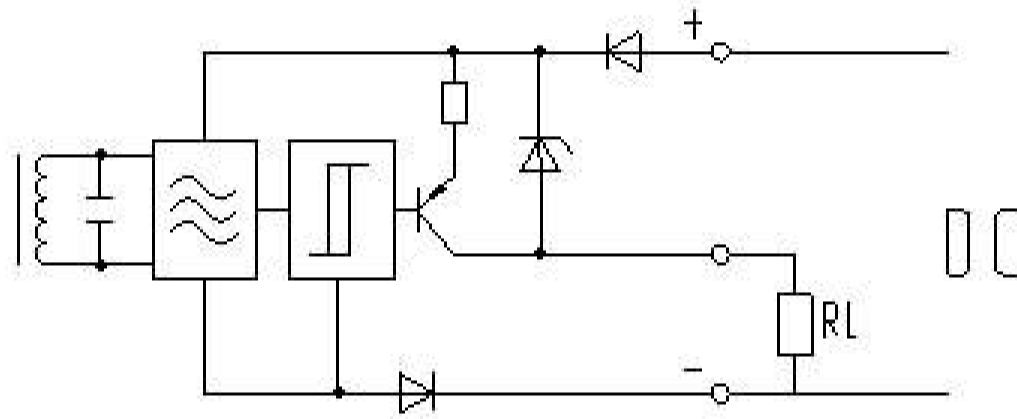
A、NPN高电平输出

B、NPN低电平输出

C、PNP高电平输出

D、PNP低电平输出

178. 下图5为 ( C ) 型传感器。



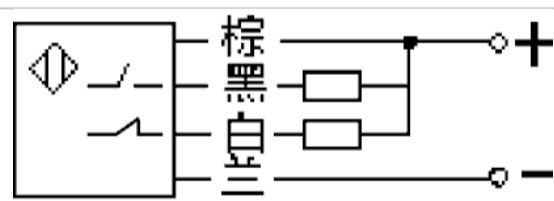
A、NPN高电平输出

B、NPN低电平输出

C、PNP高电平输出

D、PNP低电平输出

179. 下图为 ( A ) 型传感器。



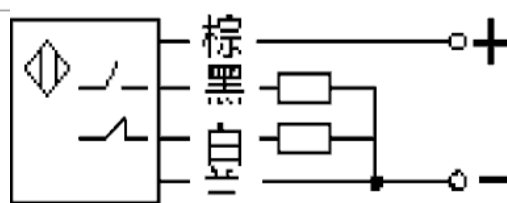
A、NPN常开常闭输出

B、NPN高电平输出

C、PNP常开常闭输出

D、PNP高电平输出

180. 下图为 ( C ) 型传感器。



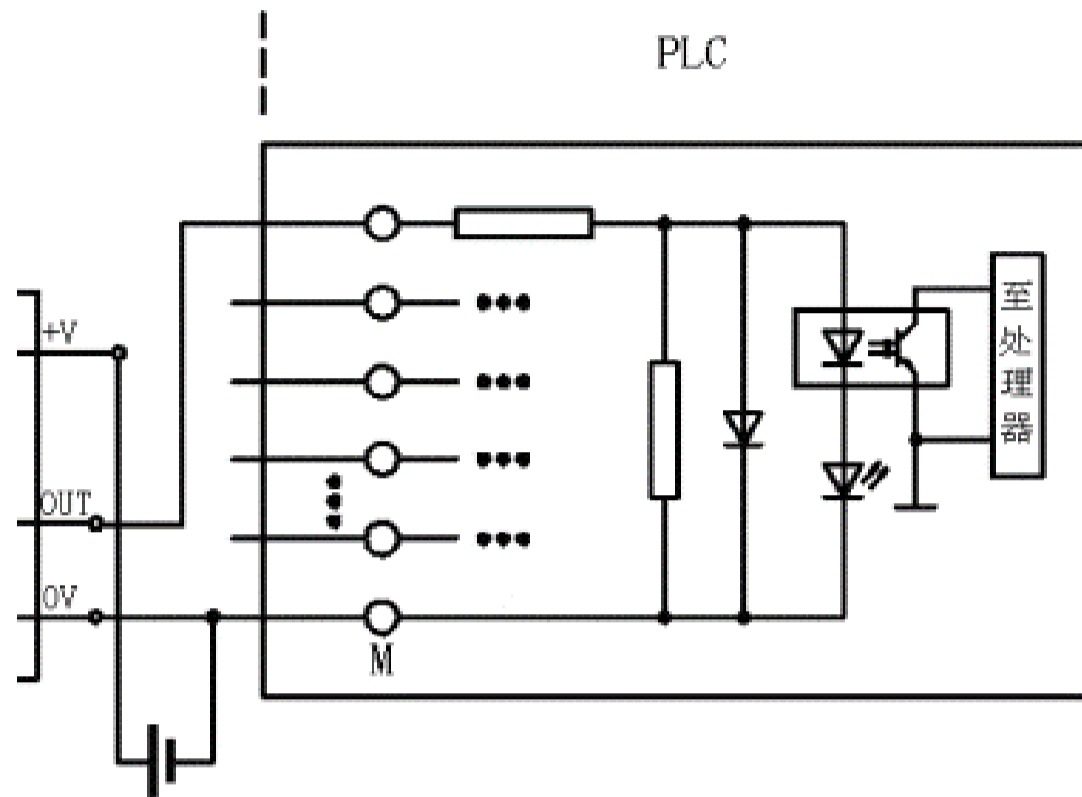
A、NPN常开常闭输出

B、NPN低电平输出

C、PNP常开常闭输出

D、PNP低电平输出

181. 如果传感器与下图中的PLC进行连接，该传感器应为（C）型传感器。



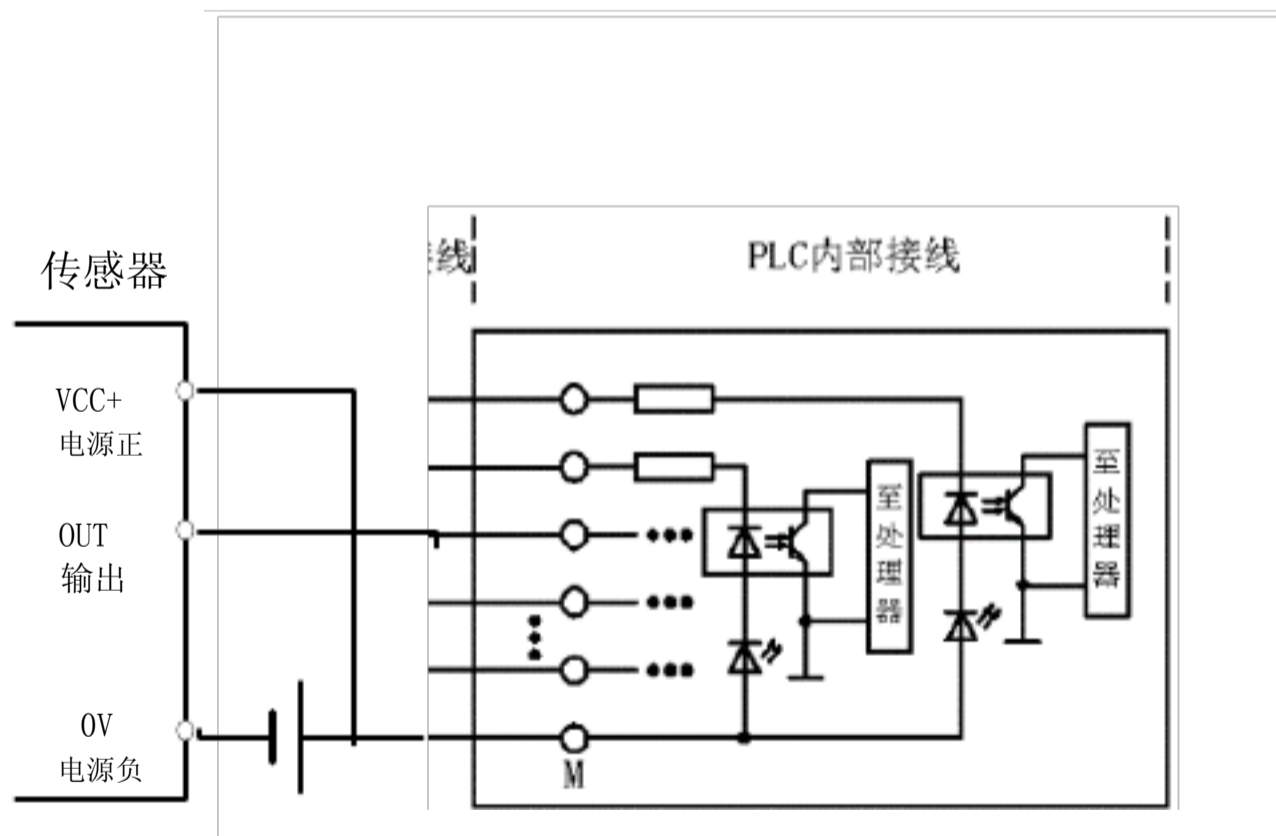
A、NPN高电平输出

B、NPN低电平输出

C、PNP高电平输出

D、PNP低电平输出

182. 如果传感器与下图中的PLC进行连接，该传感器应为（B）型传感器。



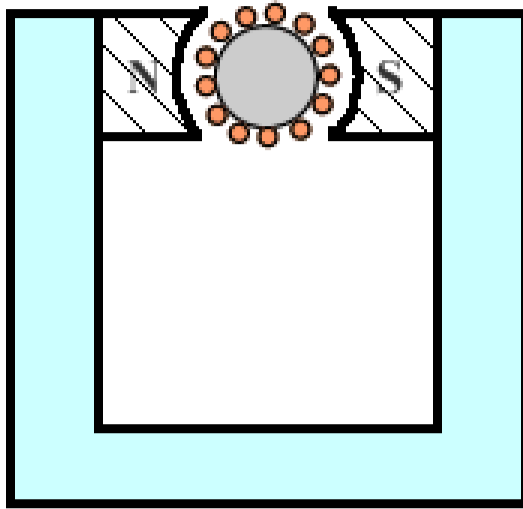
A、NPN高电平输出

B、NPN低电平输出

C、PNP高电平输出

D、PNP低电平输出

183. 下图为（B）传感器工作原理。



- A、线速度动圈式磁电式                      B、角速度动圈式磁电式  
C、线速度动铁式磁电式                      D、角速度动铁式磁电式

184. 霍尔式传感器，从大的归类来说，也是一种（D）传感器。

- A、光电式    B、电感式    C、电容式    D、磁电式

185. 车间设备上使用的报警器里的蜂鸣器利用（B）效应进行工作。

- A、电感              B、压电              C、电容              D、光电

186. 车间内移动照明灯具的电压应选用（ D ）

- A、380V              B、220V              C、110V              D、36V及以下

187. 多芯导线中规定用作保护零线的颜色是（ D ）

- A、红色              B、白色              C、兰色              D、黄绿相间

188. 测量设备的绝缘电阻应该用（ C ）。

- A、欧姆表              B、万用表              C、兆欧表              D、电桥

189. 将额定值为220V、100W的灯泡接在110V电路中，其实际功率为（ C ）。

- A、100W              B、50W              C、25W              D、12.5W

190. 将一段均匀的阻值为R的导线从中间对折合成一条新导线，其阻值为（ A ）。

- A、1/4R              B、1/2R              C、2R              D、4R

191. 在下列量具中，精度最高的是（ D ）。

- A、钢直尺              B、钢卷尺              C、游标卡尺              D、千分尺

192. 在软材料上钻孔时，应（ A ）。

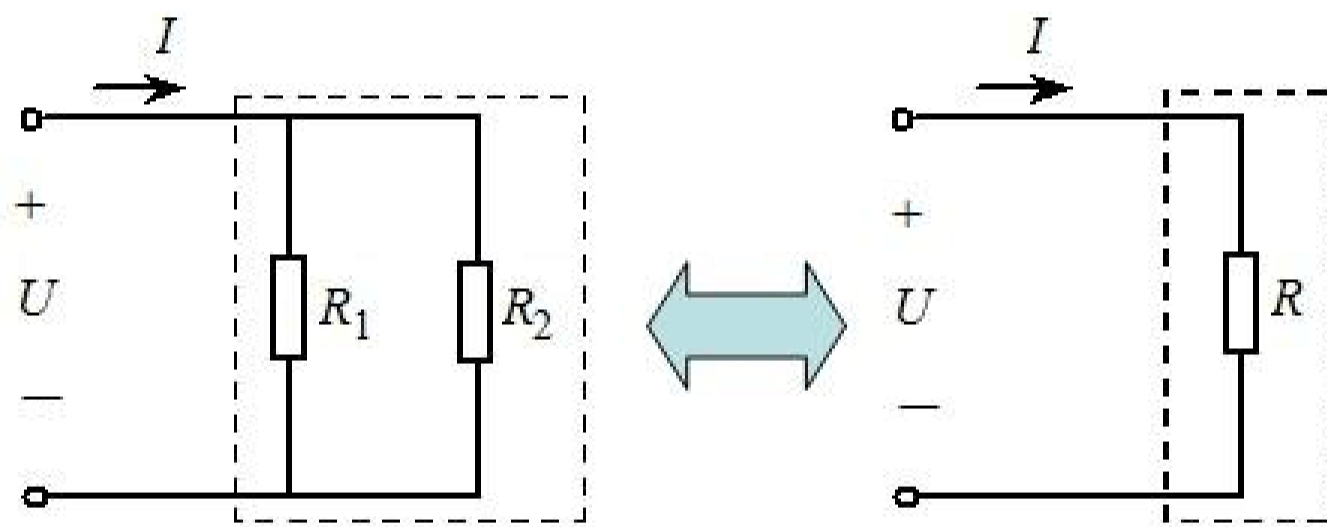
- A、速度快些，进给量大些              B、速度慢些，进给量小些  
C、速度快些，进给量小些              D、速度慢些，进给量大些

193. 按照习惯规定，导体中（ B ）运动的方向为电流的方向。

- A、电子              B、正电荷              C、电荷              D、离子



194. 整流电路输出的电压应该属于（ C ）。
- A、直流电压      B、交流电压      C、脉动直流电      D、稳恒直流电压
195. 在整流电路中，（ A ）整流电路输出的直流脉动最大。
- A、单相半波      B、单相全波      C、单相桥式      D、三相桥式
196. 发生电火警在未确认切断电源时，灭火严禁使用（ C ）
- A、四氯化碳灭火器      B、二氧化碳灭火器  
C、酸碱泡沫灭火器      D、干粉灭火器
197. 金属导体的电阻 $R=U/I$ ，因此可以说（ C ）。
- A、导体电阻与它两端电压成正比  
B、导体电阻与通过它的电流成反比  
C、电流强度与导体电阻成反比  
D、导体电阻上的电压与通过其电流没线性关系
198. 在如下电阻等效变换电路中，当（ C ）时电路可以等效变换。



- A、 $R=(R_1+R_2)/2$       B、 $R=R_1+R_2$       C、 $R=\frac{R_1 R_2}{R_1+R_2}$       D、 $R=R_1/R_2$

199. 基尔霍夫电流定律的依据，利用了电流的（ B ）原理。
- A、方向性      B、连续性      C、可变性      D、周期性
200. 以下列材料分别组成相同规格四个磁路，磁阻最大的材料是（ C ）。
- A、铁      B、镍      C、黄铜      D、钴
201. 示波器中的扫描发生器实际上是一个（ A ）振荡器。
- A、正弦波      B、多谐      C、电容三点式      D、电感三点式
202. 缩短基本时间的措施有（ A ）。
- A、采用新技术、新设备、新工艺      B、缩短辅助时间  
C、减少准备时间      D、减少休息时间
203. 电压互感器的精度级一般与（ A ）有关。

- A: 电压比误差    B: 相角误差    C: 变比误差    D: 二次阻抗
204. 选择断路器遮断容量应根据其安装处 ( C ) 来决定。  
A: 变压器的容量    B: 最大负荷    C: 最大短路电流    D: 最小短路电流
205. 当变压器电源电压高于额定电压时, 铁芯中的损耗 ( C )。  
A: 减少    B: 不变    C: 增大    D: 变化很小
206. 某变压器的一、二次绕组匝数比是25, 二次侧电压是400V那么一次侧电压为 ( A )。  
A: 10000V    B: 35000V    C: 15000V    D: 40000V
207. 大电流接地系统中, 任何一点发生单相接地时, 零序电流等于通过故障点电流的 ( C )。  
A: 2倍    B: 1.5倍    C: 1/3倍    D: 1/5倍
208. 防雷保护装置的接地属于 ( A )。  
A: 工作接地    B: 保护接地    C: 防雷接地    D: 保护接零
209. 在人站立或行走时通过有电流通过的地面。两脚间所承受的电压称为 ( A )。  
A: 跨步电压    B: 接触电压    C: 接地电压    D: 过渡电压
210. 变压器负载为纯电阻时, 输入功率性质 ( B )。  
A: 无功功率    B: 有功功率    C: 感性    D: 容性
211. 变压器油在变压器内的作用为 ( A )。  
A: 绝缘冷却    B: 灭弧    C: 防潮    D: 隔离空气
212. 对于低压用电系统为了获得380 / 220V两种供电电压, 习惯上采用中性点 ( A ) 构成三相四线制供电方式。  
A: 直接接地    B: 不接地    C: 经消弧绕组接地    D: 经高阻抗接地
213. 测量仪表的准确度等级为0.5级, 则该仪表的基本误差为 ( A )。  
A、±0.5%    B、±5%    C、-0.5%    D、+0.5%
214. 查找直流接地时, 所用仪表内阻不应低于 ( D )。  
A: 500 Ω / V    B: 1000 Ω / V    C: 1500 Ω / V    D: 2000 Ω / V
215. 有一块内阻为0.15 Ω, 最大量程为1A的电流表, 先将它并联一个0.05 Ω 的电阻, 则这块电流表的量程将扩大为 ( B )。  
A、3A    B、4A    C、2A    D、6A
216. 电流互感器的二次额定电流一般为 ( C )。  
A、10A    B、100A    C、5A    D、0.5A
217. 铜线与铝线的机械性能相比 ( A )。  
A、铜线好    B、铜线差    C、两者一样    D、铜线稍差

以上内容仅为本文档的试下载部分，为可阅读页数的一半内容。如要下载或阅读全文，请访问：<https://d.book118.com/067116001026010003>